

Чтобы избежать этих ошибок и скампи-сировать их надо найти угол между V_{04}, E, δ .

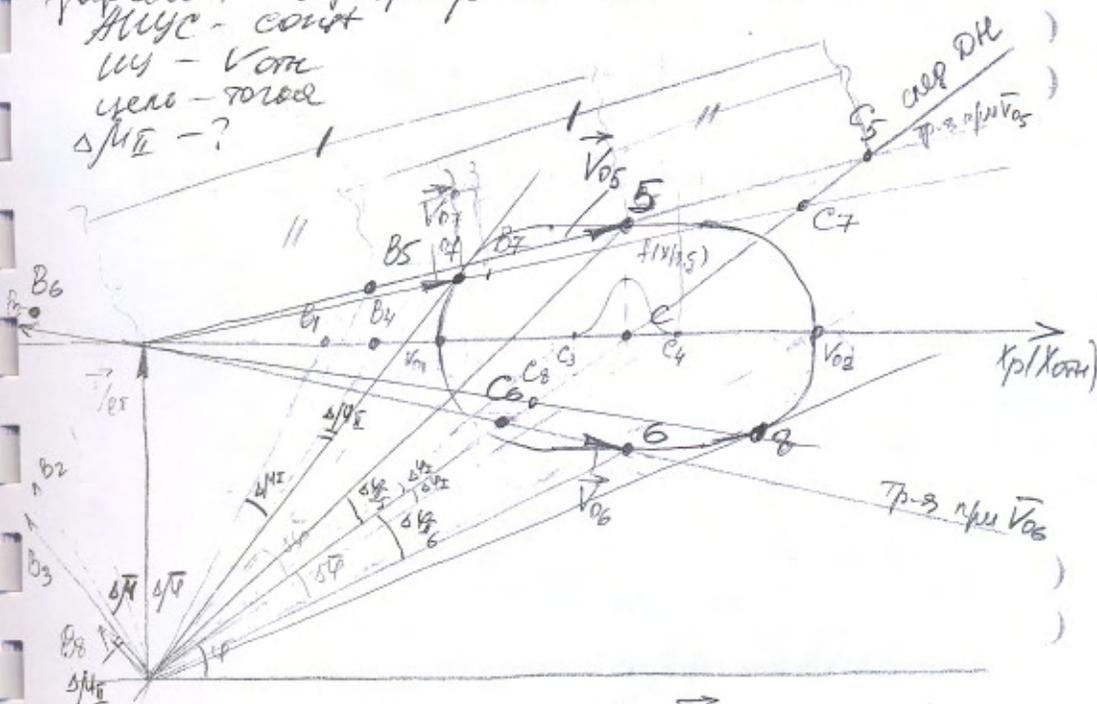
$$\Delta \varphi_{II} \delta = 0^\circ \neq \Delta \varphi_{II} \delta = 180^\circ$$

По углу δ вычисляем сферические

$$\Delta \varphi_{II} = f(V_{04}, E)$$

Рассеяние ошибки δ по раз-рассеяние работу АИУС, когда угол между тараном и ориентацией стержня с δ - δ АИУС - совм.

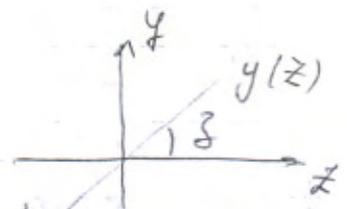
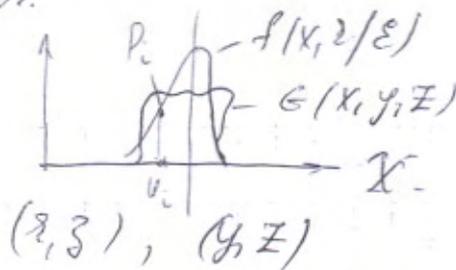
$V_{04} - V_{04}$
 угол - таран
 $\Delta \varphi_{II} - ?$



1.5 на горизонтальное совм. V_{05}
 с V_{05} совм. траект-я цели
 $C_5 = \text{след ДН}$
 Для B_5 рассеиватель в.р. \Rightarrow не надо
 --- B_6 ---

При $V_{07} \rightarrow C_7$ $C_7 + V_{07} \rightarrow B_7$
 $B_4 \dots B_7$ - рассеяние цели

22.11.
2006г.



Алгеб. $f(x, z/\epsilon)$ - хар-ка для функции $f(x, z/\epsilon)$ и f -я расщепл-я коэф-т срабат-я.

Алгеб. вычисл. комбинация упр.

Уч: $G(x, z, z) \rightarrow G(x, y, z)$

восп. ф-ция полнее вер-я:

$$P(A) = \sum_{i=1}^n P(H_i) \cdot P(A/H_i)$$

$A \rightarrow H_1 \dots H_i \dots H_n$ - гипотезы
образуют полную гр. несовмест событий

$H_i \rightarrow U_i$: в какой точке могут расщеп-я коэф-т (x_1, x_2, \dots, x_n) вычисл. комбинация упр-я Алгеб. на исполнит. устр-во.

P_i (кажд. коэф-т срабат-я x_i)

$H_i \rightarrow U_i \rightarrow P_i$

$P(H_i) \rightarrow P_i$

коэф-т срабат-я Алгеб.

$P(H_i)$ - вер-я пор-я при появ-ч гипотезы.

$A \rightarrow$ событие, состоящее в пораниении цели при цел-ч выстр-е комбинация упр-я Алгеб. при условии, что выстр-е комбинация в точке x_i .

Тогда событие A срабат-я

$$P(A/H_i) \rightarrow G_i$$

$P(\lambda) \rightarrow U_i^*$ - цена i -го помещения

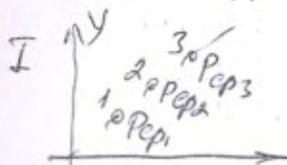
$$U_i^* = \sum_{j=1}^n P_j \cdot G_j$$

коэф. урб.

$$U_m(r, s) = \int_{-\infty}^{\infty} f(x/r, s) \cdot G(x, r, s) dx$$

цена i -го для данной коэф. x

Углуб. 2 фактора, влияющ. на урб-во



$$r_1 < r_2 < r_3$$

$$P_{ep1} > P_{ep2} > P_{ep3}$$

$$U_0(r, s) = P_{ep}(r, s) \cdot \int_{-\infty}^{\infty} f(x/r, s) \cdot G(x, r, s) dx$$

с учетом вер. ср. АИУС на данной Φ -фрагментации итервал времени.

* путем введения показателя P_{ep} - вер-до безработной работы АИУС и ИУ хар $P_{ep}(r, s)$ определяющей ИУС

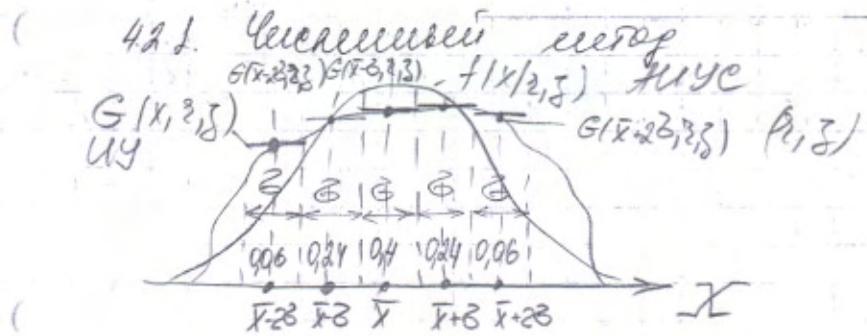
И упр. характерность работы АИУС и ИУ на данной фрагментации $\rightarrow x$

с учетом характерности сротн. P_{ep})
 цена i -го P_{ep})

$$U(r, s) = P_{ep}(r, s) \int_{-\infty}^{\infty} f(x/r, s) \cdot G(x, r, s) dx$$

G - для полярной СК - полная форма)
 цена i -го P_{ep})

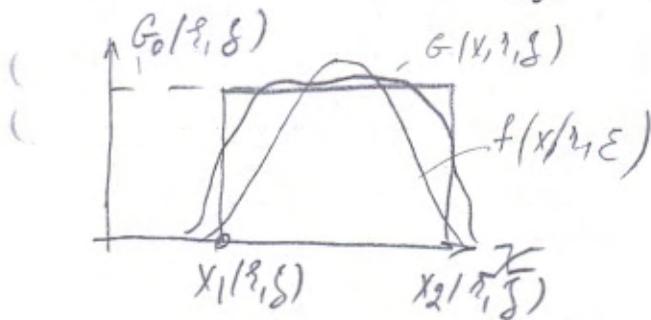
4.2. Методы расчётов условного г.м.



$$U(z, \delta) = P_z \cdot P_{ep}(z, \delta) [0,4 \cdot G(\bar{x}, z, \delta) + 0,24 G(\bar{x} + \delta, z, \delta) + 0,24 G(\bar{x} - \delta, z, \delta) + 0,06 G(\bar{x} + 2\delta, z, \delta) + 0,06 G(\bar{x} - 2\delta, z, \delta)]$$

4.2.2. Аналитический расчёт условного г.м. и дисперсии

$$U_0(z, \delta) = P_{ep}(z, \delta) \cdot \int_{-\infty}^{\infty} f(x/z, \delta) \cdot G(x, z, \delta) dx$$

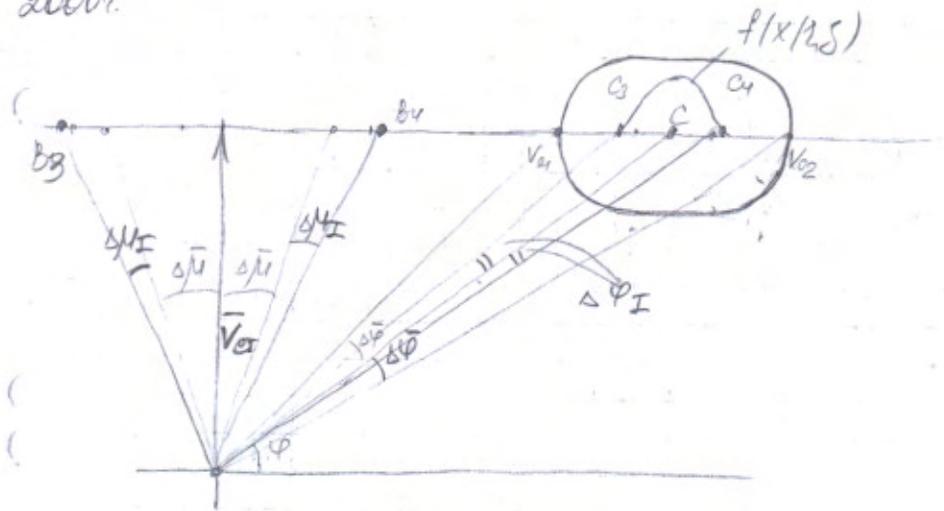


$$G(x, z, \delta) \rightarrow G_0(z, \delta) \text{ в пределах } x_1(z, \delta) \dots x_2(z, \delta)$$

$$U_0(z, \delta) = P_{ep}(z, \delta) G_0(z, \delta) \int_{x_1(z, \delta)}^{x_2(z, \delta)} f(x/z, \delta) dx$$

22.11.
2006г.

Сложение



$\Delta \bar{\varphi} \rightarrow \Delta \bar{\mu}$

элементарная амплитуда $\Delta \bar{\varphi}$

$\Delta \varphi_I \rightarrow \Delta \mu_I$

у-го $\bar{v}_{01} \dots \bar{v}_{02}$
 шаг амплитуды I разе $\Delta \varphi_I$
 у-го $f(x/z, S)$
 шаг амплитуды

29.12.
2006г.

$$u(z, \delta) = P_B P_{cp}(z, \delta) G_0(z, \delta) \int_{x_1}^{x_2} f(x/z, \delta) dx$$

$$k_c(z, \delta) = \int_{x_1}^{x_2} f(x/z, \delta) dx = P(x_1 < x < x_2)$$

Выводимее аналогич. парамет $k_c(z, \delta)$

$$k_c(z, \delta) = F(x_2) - F(x_1) \quad \text{интегральное ф-е}$$

$$F(x) = \int_{-\infty}^x f(x/z, \delta) dx$$

где параметр δ коэффициент сраб. \rightarrow АИУС
врем. параметр δ ф-е (z, δ) , н.з.р.

$$F(x) = \frac{1}{\sqrt{2\pi}} \int_{-\infty}^x e^{-\frac{(x-\bar{x})^2}{2\sigma_x^2}} \cdot \frac{dx}{\sigma_x}$$

$$t = \frac{x-\bar{x}}{\sigma_x} \quad dt = \frac{dx}{\sigma_x}$$

$$x = -\infty \Rightarrow t = -\infty$$

$$x = \frac{x-\bar{x}}{\sigma_x} \Rightarrow t = \frac{x-\bar{x}}{\sigma_x}$$

$$F(x) = \frac{1}{\sqrt{2\pi}} \int_{-\infty}^{\frac{x-\bar{x}}{\sigma_x}} e^{-\frac{t^2}{2}} dt$$

Восп. стандартной ф-е интеграла бер-тел.

$$\Phi^*(x) = \frac{1}{\sqrt{2\pi}} \int_{-\infty}^x e^{-\frac{t^2}{2}} dt \quad \text{норм. ф-е параметр-е}$$

(Э стандартное значение)

интегр. ф-е параметр δ сущ. бер-тел t , значение
норм. з.р. с МО $\bar{x}=0$ и СКД $\sigma_x=1$

$$F(x) = \Phi^*\left(\frac{x-\bar{x}}{\sigma_x}\right)$$

$$k_c(z, \delta) = F(x_2) - F(x_1) = \Phi^*\left(\frac{x_2-\bar{x}}{\sigma_x}\right) - \Phi^*\left(\frac{x_1-\bar{x}}{\sigma_x}\right)$$

$$k_c(z, \delta) = (0, 1)$$

44а - значение $k_c(z, \delta)$ там где согласована работа
АИУС и ИУ или параметр δ и.

$$W^+ = \sum_{i=1}^k P_i(y, z) U^*(y, z)$$

$$W = \int_{-\infty}^{\infty} \int_{-\infty}^{\infty} \varphi(y, z) \int_{-\infty}^{\infty} G(x, y, z) f(x/y, z) dx dz dy$$

$$W = P_5 \int_{-\infty}^{\infty} \int_{-\infty}^{\infty} \varphi(y, z) P_{ep}(y, z) \int_{-\infty}^{\infty} G(x, y, z) f(x/y, z) dx dz dy$$

$$W = P_5 \int_{-\infty}^{\infty} \int_{-\infty}^{\infty} \varphi(\xi, \zeta) P_{ep}(\xi, \zeta) \int_{-\infty}^{\infty} G(x, \xi, \zeta) f(x/\xi, \zeta) dx d\xi d\zeta$$

номинал верто полам с цену
с уресте падасте бах насчете!
ср; АУУС; УУ.

P_5 - верто безотказной падасте; картка АУУС
карта исправления

$\varphi(y, z), \varphi(\xi, \zeta)$ - су расчет с др. пил; карта сф

$P_{ep}(y, z), P_{ep}(\xi, \zeta)$ - карта АУУС

$G(x, y, z), G(x, \xi, \zeta)$ - кзн; карта уу

$f(x/y, z), f(x/\xi, \zeta)$ - су расчет. коэф. ефд. АУУС

29.11.
Робот.

Силосилоп

УВ: $\vec{v}_{УВ}$

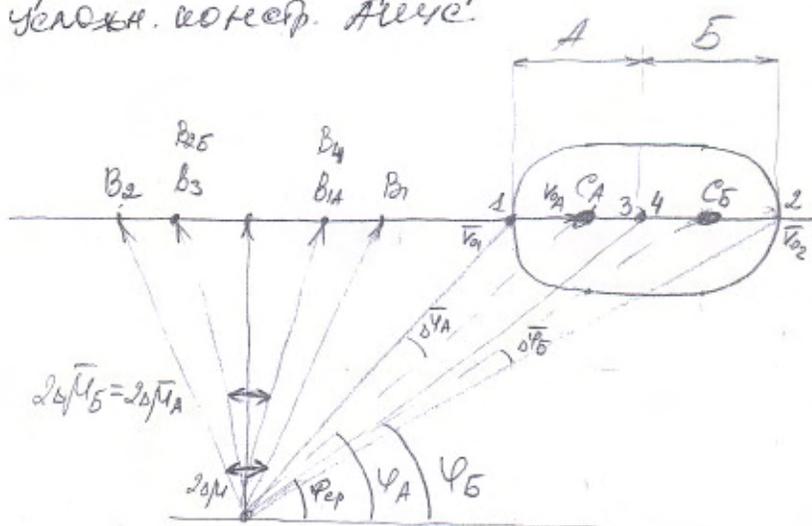
УЧ: $\vec{v}_{УЧ}$

АУС: ψ_A, ψ_B

$\Delta \bar{\mu}$ - ?

$\psi_{\text{ср}}$ - по $\vec{v}_{\text{ср}}$

$\Delta \bar{\mu}$ - средняя исп. к.р. \vec{v} .
Условн. центр. АУС.



$\Delta \bar{\mu}_B = \Delta \bar{\mu}_A$

$\psi_{\text{ср}}, \psi_A, \psi_B$

Деление плав. $\vec{v}_1 \dots \vec{v}_2$ на 2 равн. части

A: $\vec{v}_1 \dots \vec{v}_3$

B: $\vec{v}_4 \dots \vec{v}_2$

Ось ψ_i и ψ_j по средней $\vec{v}_{\text{ср}}$ как по плав.

Ось ψ_i и ψ_j точки соответств. \vec{v}_i и \vec{v}_j с плав. \vec{v} .

$\Delta \bar{\mu}_A = \Delta \bar{\mu}_B < \Delta \bar{\mu}$ ум-е в 2 раза

A: CA $\vec{v}_1 \dots \vec{v}_3$

B: CB $\vec{v}_4 \dots \vec{v}_2$

$\Delta \bar{\mu} = \frac{\vec{v}_1 - \vec{v}_2}{2h \vec{v}_{\text{ср}}}$ $n=2$

$\delta_{\pm} = (0,05 \div 0,06)$ шаг

$$\beta_{M_{\text{н}}} = \frac{1}{\sqrt{2}} \frac{V_{\text{н}}}{V_{\text{с}}} \operatorname{ctg} \varphi$$

$$\beta_{\mu} = \frac{\operatorname{ctg} \varphi}{\sqrt{\beta_{M_{\text{н}}}^2 + \beta_{M_{\text{д}}}^2}} \quad \beta_{\text{н}} \rightarrow 0, \mu$$

$$2,5 \mu = 2,5 \beta_{\text{н}} + 2,5 \mu$$

06.12. 52. Векторы нормалей векторов $\vec{e}_1, \vec{e}_2, \vec{e}_3$ равны $\vec{e}_1, \vec{e}_2, \vec{e}_3$.

$$W = P_{\text{с}} \int_0^{2\pi} \int_0^{2\pi} \varphi(r, \vartheta) P_{\text{с}}(r, \vartheta) \int_0^{2\pi} G(x, r, \vartheta) f(x, r, \vartheta) dx d\vartheta dr$$

$$W = P_{\text{с}} \cdot W_0$$

$$W_0 = \int_0^{2\pi} \int_0^{2\pi} \varphi(r, \vartheta) P_{\text{с}}(r, \vartheta) \int_0^{2\pi} G(x, r, \vartheta) f(x, r, \vartheta) dx d\vartheta dr$$

В выражении амплитудно-фазовый фактор КЗП

$$a) \text{X: } x_1(r, \vartheta), x_2(r, \vartheta) \rightarrow G_0(r, \vartheta) - \text{const}$$

$$b) \int_{x_1(r, \vartheta)}^{x_2(r, \vartheta)} f(x, r, \vartheta) dx = k_c(r, \vartheta)$$

$$W_0 = \int_0^{2\pi} \int_0^{2\pi} \varphi(r, \vartheta) P_{\text{с}}(r, \vartheta) G_0(r, \vartheta) \cdot k_c(r, \vartheta)$$

Предположим:

I) Распределение $\varphi(r, \vartheta)$ бесконечно малой области равнодействительно, т.е. на всех векторах $\vec{e}_1, \vec{e}_2, \vec{e}_3$ $P_{\text{с}}(r, \vartheta) = 1$

$$W_0 \rightarrow W_{\Delta} = \int_0^{2\pi} \int_0^{\pi} \rho(r, \delta) G_0(r, \delta) k_c(r, \delta) d\delta dr$$

$$W = W \cdot \frac{W_{\Delta}}{W_{\Delta}} = P_0 \left[\int_0^{2\pi} \int_0^{\pi} \psi(r, \delta) P_{ep}(r, \delta) k_c(r, \delta) d\delta dr \right] \frac{\int_0^{2\pi} \int_0^{\pi} \psi(r, \delta) G_0(r, \delta) k_c(r, \delta) d\delta dr}{\int_0^{2\pi} \int_0^{\pi} \psi(r, \delta) G_0(r, \delta) k_c(r, \delta) d\delta dr}$$

$$K_{\Delta} = \frac{①}{②} - \text{интегральные коэффициенты для "реальной" АУЧЕ}$$

$$W = P_0 K_{\Delta} \int_0^{2\pi} \int_0^{\pi} \psi(r, \delta) G_0(r, \delta) k_c(r, \delta) d\delta dr$$

II) Рассм. угловую корр. АУЧЕ и УЧ

$$k_c(r, \delta) = 1$$

$$W_{\Delta} \rightarrow W_{max} = \int_0^{2\pi} \int_0^{\pi} \psi(r, \delta) G_0(r, \delta) d\delta dr$$

$$W = W \cdot \frac{W_{max}}{W_{max}} = P_0 K_{\Delta} \left[\int_0^{2\pi} \int_0^{\pi} \psi(r, \delta) G_0(r, \delta) k_c(r, \delta) d\delta dr \right] \frac{③}{\int_0^{2\pi} \int_0^{\pi} \psi(r, \delta) G_0(r, \delta) d\delta dr}$$

$$\frac{\int_0^{2\pi} \int_0^{\pi} \psi(r, \delta) G_0(r, \delta) d\delta dr}{④}$$

$$K_c = \frac{③}{④} - \text{интегральные коэффициенты для "идеальной" АУЧЕ и УЧ в план.}$$

$$W = P_0 \cdot K_{\Delta} \cdot K_c \cdot \int_0^{2\pi} \int_0^{\pi} \psi(r, \delta) G_0(r, \delta) d\delta dr \text{ ген-а приемн-а}$$

$$W = P_0 \cdot K_{\Delta} \cdot K_c \cdot W_{max}$$

W - номинал вер-го для "реальной" АУЧЕ

$$0 < P_{ep}(r, \delta) \leq 1 \quad 0 < k_c(r, \delta) \leq 1$$

W_{max} - номинал вер-го для "идеальной" АУЧЕ

$$P_{ep}(r, \delta) = 1 \quad k_c(r, \delta) = 1$$

$$\frac{W}{W_{max}} = P_0 K_{\Delta} K_c = K_{\Theta} - \text{К-т согласованности}$$

W_{max} определяется работой элект. напряжения при γ и рассеянии в $\Phi(r, \delta)$ и работе ИУ

$$K\Omega = P_b \cdot K_A \cdot K_c$$

они и являются показателями работы ИУ в составе комплексной системы

5.3. Анализ эффективности W_{max}

- 1) Для элект. $\Phi(r, \delta)$ восп. круговое ортогональное рассеяние без элементов антенн

$$\delta_y = \delta_z = \delta \quad h=0$$

$$\Phi(r, \delta) = \frac{2}{2\pi\delta^2} e^{-\frac{r^2}{2\delta^2}} \quad \text{хар-ка СН}$$

2) $G_0(r, \delta) = e^{-\frac{r^2}{2R_k^2(\delta)}}$

$$W_{max} = \int_0^\infty \int_0^{2\pi} \frac{2}{2\pi\delta^2} e^{-\frac{r^2}{2\delta^2}} \cdot e^{-\frac{r^2}{2R_k^2(\delta)}} d\gamma dr$$

$$W_{max} = \int_0^\infty \frac{2}{\delta^2} e^{-\frac{r^2}{2\delta^2}} \int_0^{2\pi} \frac{1}{2\pi} e^{-\frac{r^2}{2R_k^2(\delta)}} d\gamma dr$$

$\Phi(r)$

$\Phi(r)$ - γ -и расфигур. функция при круговом ортогональном рассеянии без элементов антенн

$$\int_0^{2\pi} \frac{1}{2\pi} e^{-\frac{r^2}{2R_k^2(\delta)}} d\gamma = \frac{2\pi}{n} \frac{1}{2\pi} \sum_{i=1}^n e^{-\frac{r^2}{2R_k^2(\delta)}} =$$

$$= e^{-\frac{r^2}{2R_k^2(\delta)}}$$

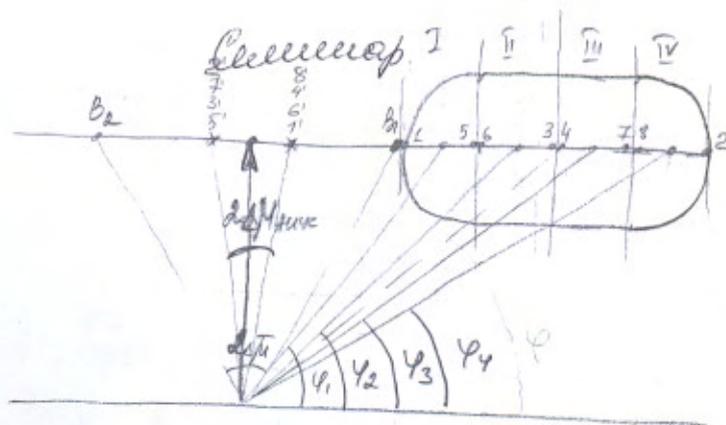
$$\text{47a } W_{max} = \int_0^\infty e^{-\frac{r^2}{2\delta^2}} \cdot e^{-\frac{r^2}{2R_k^2(\delta)}} \cdot \frac{2}{2} \cdot \frac{2 dr}{\delta^2}$$

$$\frac{2R_{kz}^2 z^2 + 2\beta^2 z^2}{4\beta^2 R_{kz}^2} = \frac{2z^2(R_{kz}^2 + \beta^2)}{4\beta^2 R_{kz}^2}$$

$$\beta^2 = \frac{\beta^2 R_{kz}^2}{R_{kz}^2 + \beta^2} \quad 2z dz = dz^2$$

$$W_{max} = \frac{1}{2\beta^2} \int_0^{\infty} e^{-\frac{z^2}{2\beta^2}} dz^2 = \frac{1}{2\beta^2} \cdot \left(-\frac{2\beta^2}{1}\right) e^{-\frac{z^2}{2\beta^2}} \Big|_0^{\infty}$$

$$= \frac{\beta^2}{\beta^2} [0 - (-1)] = \frac{\beta^2}{\beta^2}$$



Улх гармаах
 ҮБ: рооцгоор
 Ауге: 4 гарм
 $\psi_1, \psi_2, \psi_3, \psi_4$
 УЧ: \bar{V}

2\sigma_{max}?

I Огөөдөгдөх нэрх үеэр к.р.о. нхш ψ -const

$\rightarrow 2\sigma_{\psi} (B_1, B_2)$

II Дараа рооцгоор \bar{V} нхш на 4 гарм (\bar{V}_1, \bar{V}_2)

У сурөгөөдөг үеэр $\psi_1 > \psi_2 > \psi_3 > \psi_4$

1) Определить $2\Delta\mu$ для кахр из галактики

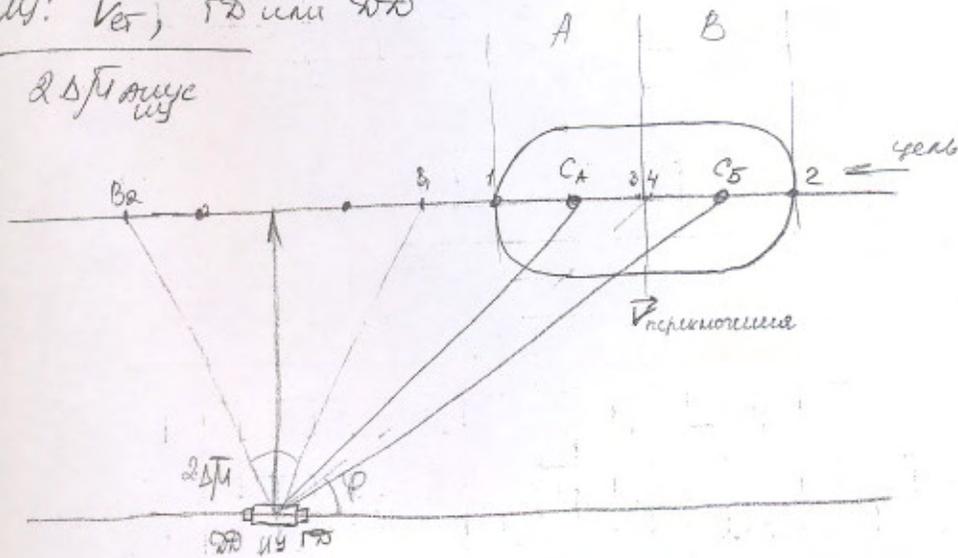
$\sum_{i=1}^n \vec{V}_{e1} + \vec{V}_{e1} \rightarrow C_1 \rightarrow \vec{V}_{p1e}$ $\vec{V}_{e1} \dots \vec{V}_{e5}$ (показаны
 не $\vec{V}_{e5} + \vec{V}_{e5} \rightarrow C_2 \rightarrow \vec{V}_{p2e}$ центры $B(1)C(2)$)

$\sum_{i=1}^n \vec{V}_{e6} \dots \vec{V}_{e3}$ (показаны центры $B(1)C(2)$)
 и т.д. ...

$2\Delta\mu = 4.2\Delta\mu_{p1e}$

Согласно при рисунке расположения на 4 уровне.

- Цех расщепления:
- УВ: корпус \vec{V}_{e1} ($\vec{V}_{e1} \dots \vec{V}_{e2}$)
- АК: 2 групп. телерадиопол с C_1 и C_2
- УУ: \vec{V}_{e1} , \vec{V}_{e2} или \vec{V}_{e3}



A: $\vec{V}_{e1} \dots \vec{V}_{e3}$

УУ

$$U_{\text{top}} > U_{\text{top}} \quad \text{Pep}(z, \zeta) = \text{Pep}(y, z) = 1$$

$$U_{\text{top}} \leq U_{\text{top}} \quad U_{\text{top}} > U_{\text{top}}$$

$$\text{II} \quad 0 < \text{Pep}(z, \zeta) = \text{Pep}(y, z) < 1$$

$$S_{\text{sub}} = \int \int \text{Pep}(y, z) dy dz =$$

$$= \int \int \text{Pep}(z, \zeta) \zeta d\zeta d\zeta$$

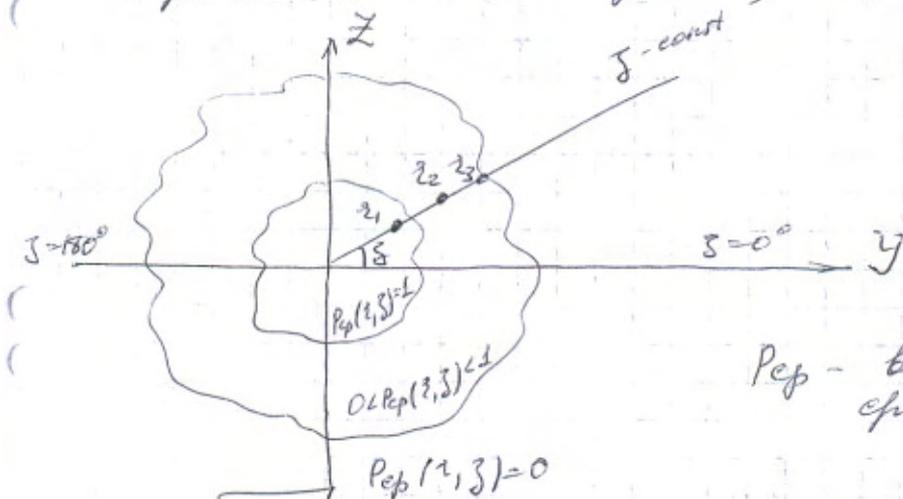
$$\zeta = \sqrt{\frac{S_{\text{sub}}}{\pi}} \quad \text{параметр равновесия}$$

Характеристики градиентов
и отклонения x-координат

OL 11.
2006г

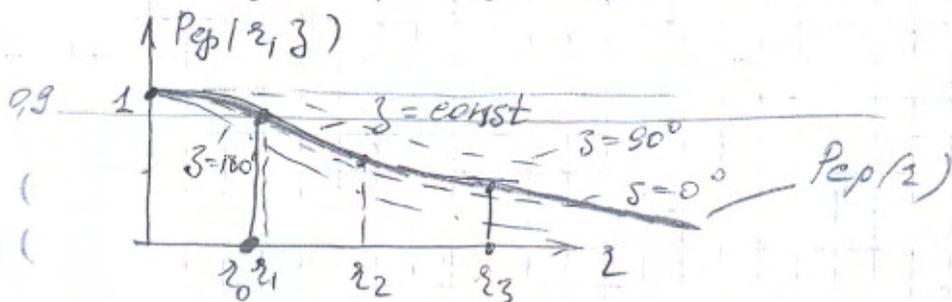
11

Вероятностная (отраженная) карта



Pep - вер-от
срабат-е

$z_{g, \max} = \sqrt{\frac{S_{\text{звб}}}{\pi}}$ - max радиусе сечения
 $Pep(z_1, \delta) > Pep(z_2, \delta) > Pep(z_3, \delta)$



z - var - $Pep(z, \delta)$

Одновременно для заданных значений
 вер-от определяется Pep по δ и
 определяется центральным образом
 $Pep(z)$ - карта вер-от срабат-е.

$$Pep(z) = \int_0^{2\pi} P(z, \delta) d\delta$$

Реальн. z_0 - мин. сечение по $Pep(z)$
 на уровне 0,9

132

Остаточная х-кар:

$$P_{\text{ост}}(z) = 1 - P_{\text{пер}}(z)$$

Т.о. обл. сраб. в физ. форме
траектории (y, z) или (z, δ) опис. с
слр-ми хар-ми:

1) $f(x/y, z)$ или $f(x/z, \delta)$

3-я распредел. в коор-т сраб. в МЧС
врем. формы траектории
(корреляционной или равномерной 3-я
распределены)

Момент: $M_0(y, z)$ или $M_0(z, \delta)$ - МО
 $Z(y, z)$ или $Z(z, \delta)$ - СКД

2) $P_{\text{пер}}(z, \delta)$ или $P_{\text{пер}}(y, z)$

врем. сраб. в МЧС на форме ф-и.

При оценке эрозия-и расщеп-е
конкретные усл. в ветри, циркуля-
ционные скорости на Δ -конт $V_1, V_2, V_{\text{отн}}$.

Оценка ОС:

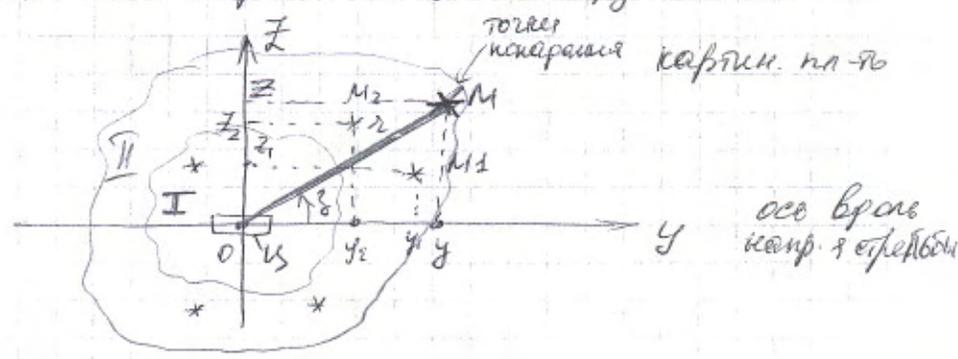
1) Методы мат. морфологич. с
пол. коэф. оцене-е хар-ки
ОС дунцею иудея.
Получ. тем. морф. враще-е

2) Методы физ. полуаналитич. морф. в

3) Формальное исследование на заверш.
станд. проек-е, уточнение хар-к ОС,
вкл. в рекон. цели.

3. Основные хар-ки ЦУ. Зона реалпр-я ЦУ.

3.1. Осн. хар-ки ЦУ - коэф-т γ и δ



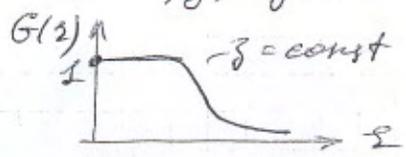
I - зона безразличного поражения $G(y, z) = G(r, z) = 1$
 II - зона вероятного поражения $0 < G < 1$
 $G(y, z) \leq 1$ - коэф-т γ и поражения (КЗТ)
 явл. осн. хар-кой поражения
 факт. безразличное - условием
 вер-я поражения цели при коэф-те
 безразличия в точке с данными
 координатами.

или $G(r, z) \leq 1$

Ур-ие $G(y, z)$ и $G(r, z)$ определяется
 харак-кой безразличия (кол во ВВ,
 масса осколков и т.п.); харак-кой
 увеличивает цели по отно-ю к
 факт. виду поражения
 факт. цели.

$$S_{\text{эв}} \rightarrow R_{\text{факт}} = \sqrt{\frac{S_{\text{эв}}}{\pi}}$$

$G(r, z)$ упр-ся, если z ув-ся при $z = \text{const}$



- 1) для упрощения V_{01} и V_{02} (без потерь)
- 2) цель - точка
- 3) $\tau = 1$ сек

показана цель выше точек в (1С)
 чтобы объект сел на работу при V_{01}

$$C + V_{01} \rightarrow B_1$$

$$C + V_{02} \rightarrow B_2$$

$\Delta\varphi$ - изменение скорости средой \rightarrow АИУС

08.11.
2006г.

3.3. Какое расстояние от в в статье)
 для упр. упрощения
 при работе по центру цели

Цель расстояние:

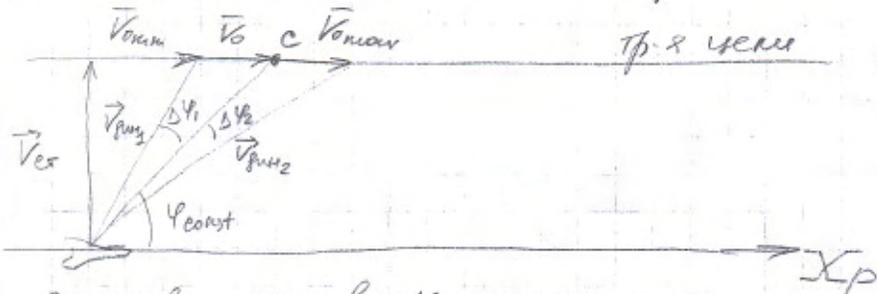
УВ: $V_{01min} \dots V_{01max}$, // в курсе

АИУС: $\varphi = const$

ЦУ: V_{02}

Цель: угол-ср только центр цели

Определяется: ΔR - ? (ширина к.р. в статье)



остаивал. цель в с/с-локации цели

$$V_{01min} = V_{02} + V_{01min}$$

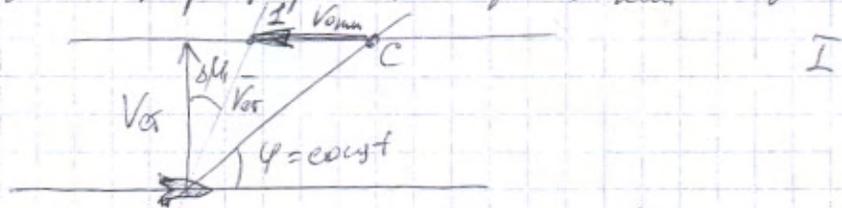
$$V_{01max} = V_{02} + V_{01max}$$

V_0 - сдв. сд-ра, при ког. попарение цели в (1С)

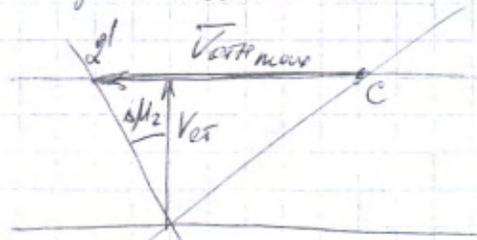
ЦУ при. видно, что цель будет поражена
 в (1С) только при сдв. сд-ра V_0 .

Для ф. от-х с-тей V_{0min} , V_{0max}
 осьс-т слагае. работа A_{12} и A_{13} .
 Обсуждать в рамках сипр сол. работы
 в гин. V_{0min} , V_{0max} возм, если расширять
 к.р. в сдвиге.

Курс формул легче освоить в частном,
 чтобы показать цель при V_{0min} в гин. A_{12} .



Осложн, к-е в с. летит в $C'12'$, но \rightarrow
 в гин. A_{12} он покажет в $C'1C$ при V_{0min} .



$$2 \Delta \mu = \Delta \mu_1 + \Delta \mu_2$$

Если в частном случае сложение покажет в $C'12'$,
 то в гин. при V_{0max} он покажет в $C'1C$.

$\Delta \mu_{1,2}$ - естественные следствия ф. A_{12}

$\Delta \mu_1$ должно перейти естествен. осей $\Delta \mu_1$
 $\Delta \mu_2$ - " - $\Delta \mu_2$

3.3.1. Метод цены по порожению

- естественность спроса цены, кол. обеспечивается
короб. цена размером бесприменяемая

34. Конус размера эл-в в стояние
с учетом размеров может цена
по порожению.

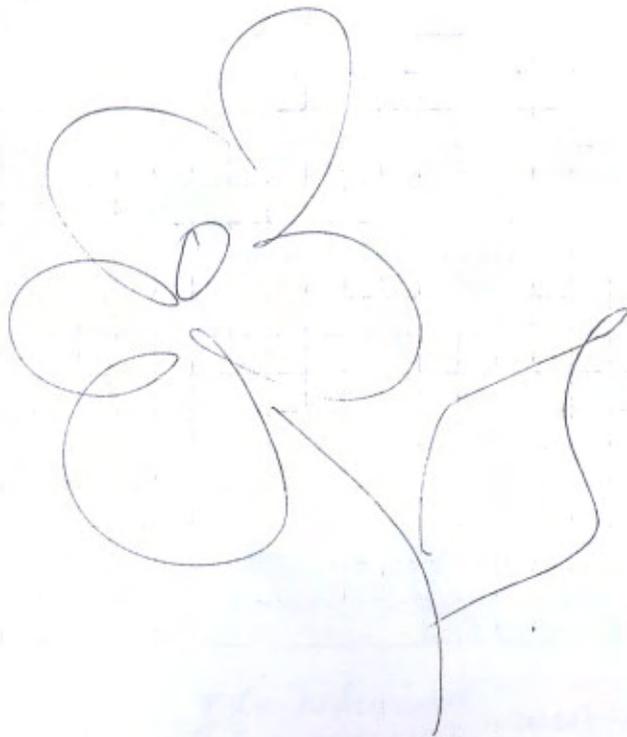
Кек. размер:

У.В: $V_{\text{отн}} \dots V_{\text{отн}}$; // курс

Анализ: $V = \text{const}$

Цена имеет р/р с собой цена по короб.

Найти: $2V_{\text{отн}} - ?$

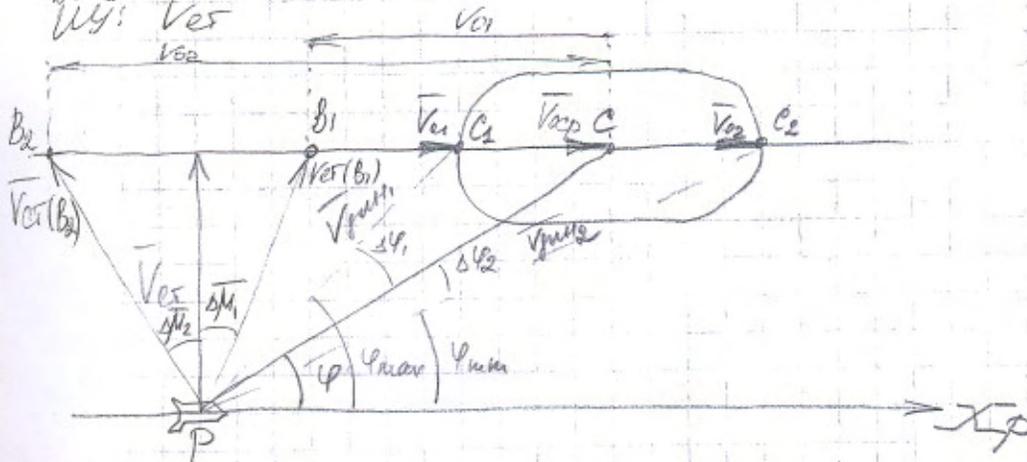


U_0 при малых V_{0H} цель порождения
 переменной гасило к.р.д.
 при V_{0Hmax} цель порождения гармоник
 гасило к.р.д. в статике.

37b) Суммар

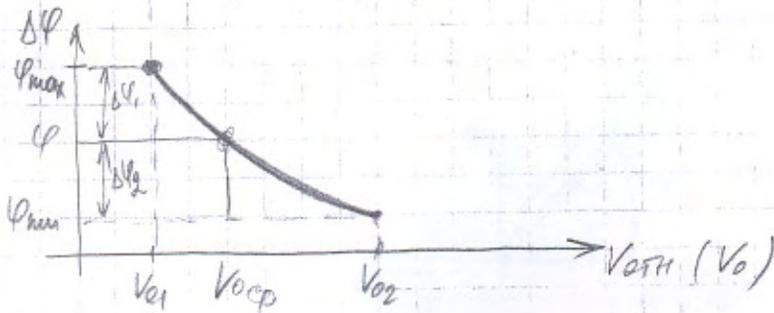
Смещение за ось микрокан к.р.д.

UB: порожд V_{0H}
 АЧУС: φ -сдвиг
 УУ: V_{es}



$$\begin{aligned}
 \Delta\varphi_1 &= \varphi_{max} - \varphi \\
 \Delta\varphi_2 &= \varphi - \varphi_{min}
 \end{aligned}
 \left. \begin{array}{l} \\ \\ \end{array} \right\} \text{сдвиг фаз. сдвиг фаз. АЧУС}$$

C_1 V_{01} : $C \rightarrow C_2 \rightarrow \Delta\varphi_1$
 C_1 V_{02} : $C \rightarrow C_2 \rightarrow \Delta\varphi_2$
 C_1 : $V_{es} + V_{01} = V_{мин1} \rightarrow C_1 \rightarrow \varphi_{max}$
 C_2 : $V_{es} + V_{02} = V_{мин2} \rightarrow C_2 \rightarrow \varphi_{min}$



Из рис: согласно радиусу АИУС и ИУ бегущая волна
 только для $V_{ср}$, когда показание счетчика
 макс. в с.с. при угле φ расщепления ДИ.
 Для обеспеч. макс. работы для угл. V_{c1} и V_{c2}
 необход. рассмотреть к.р. \Rightarrow .

$$(1) V_{c1} \rightarrow B_1$$

$$V_{ср}(B_1) + V_{c1} = V_{гит}(c)$$

Амплитуды $\Delta\varphi_1$ АИУС коэффициент $\Delta\mu_1$

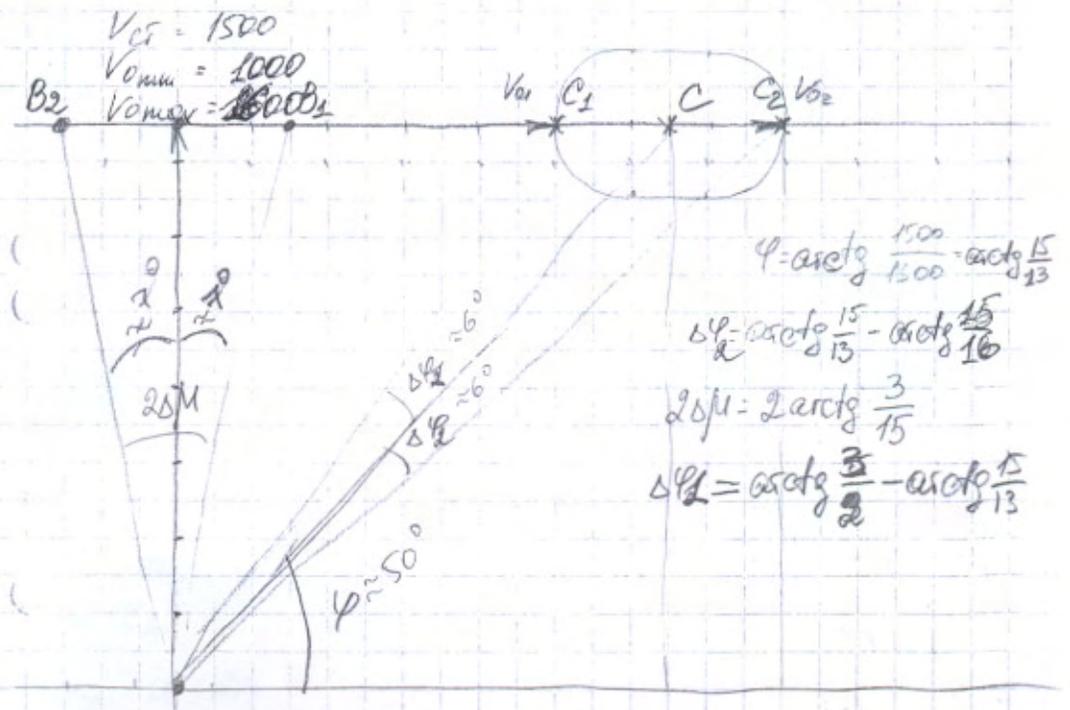
$$(2) V_{c2} \rightarrow B_2$$

$$V_{ср}(B_2) + V_{c2} = V_{гит}(c)$$

(3) Амплитуды $\Delta\varphi_2$ АИУС коэффициент $\Delta\mu_2$

$$\Delta\mu_1 + \Delta\mu_2 = 2\Delta\mu$$

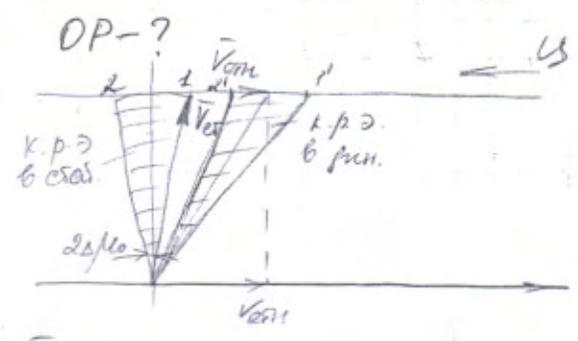
$$\text{от } \Delta\mu = \frac{V_{c2} - V_{c1}}{2V_{ср}}$$



15.11.2006 Область реал-з ИУ.
Границы об-то реал-з.

Обл. реал. ИУ - пространство величин и значений, при котором в кон-е центра цели, она корректируется с вероят-ю $\neq 0$.

цель - точка
ИУ: к.р.э., \vec{V}_{α} , $\Delta \rho / \rho_0$
цел. вектор: $\vec{V}_{\text{цел}}$, // курс

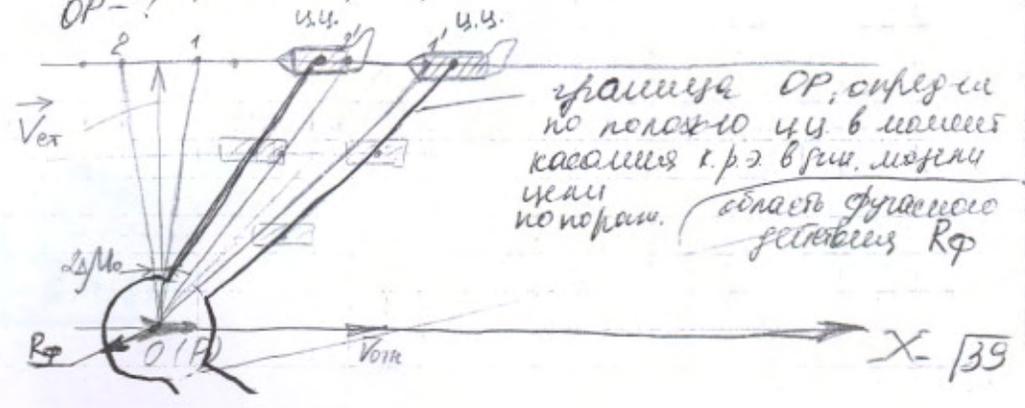


$$\vec{V}_{\text{гит}} = \vec{V}_{\alpha} + \vec{V}_{\text{цел}}$$

$\alpha \rightarrow \alpha' \Rightarrow$ попра. α .

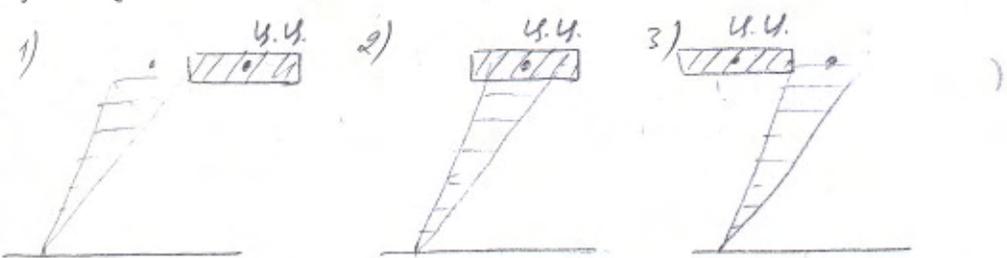
Границы ОР определяются границами к.р.э. в гитовом

цель: колеблюсь ρ проб \Rightarrow модель цели по попра-ю.
цел. вектор: $\vec{V}_{\text{цел}}$, // курс
ИУ: к.р.э., \vec{V}_{α} , $\Delta \rho / \rho_0$
ОР - ?

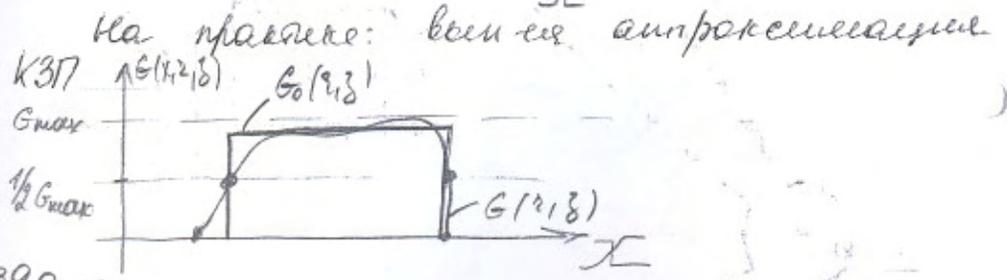
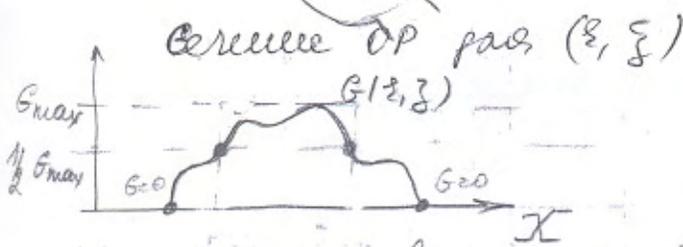
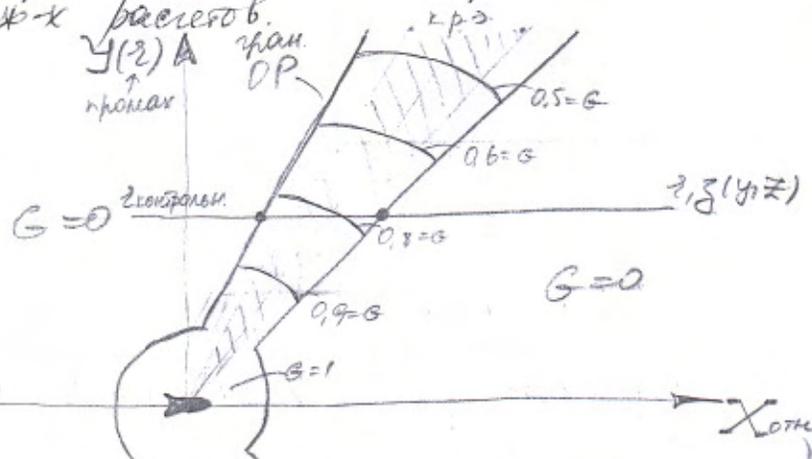


граница ОР, определ-я по полож-ю ИУ в малее касание к.р.э. в гит. модель цели попраш. (область функцио-н-го действия РР)

такая ОР модк. для сравнения её с ОС АИУС,
 то повсюду о составе работы АИУС и ИУ
 для разных цен-в берем.



Мы определили формулы ОР и з цен-в
 накроем цену к.р.з. в рин.
 КЗП - $G(x, y, z)$ - ?
 модк. offerta более четкие формулы ОР
 для этих-х расчетов.



$G_{\max}(z, \delta)$

$\frac{1}{2} G_{\max} \rightarrow x_1(z, \delta)$

$x_2(z, \delta)$

Площадь под кривой = площ. треугол.

$\rightarrow G_0(z, \delta)$

Для данной траектории (z, δ) , определены в пределах грани $x_1(z, \delta)$ и $x_2(z, \delta)$

$G(x, z, \delta) = \begin{cases} G(x, z, \delta) - G_0(z, \delta) - \text{cost of } x_1 \text{ to } x_2 \\ G = 0, \text{ если } x < x_1 \text{ или } x > x_2 \end{cases}$

Такая амплитуда пов. введена в качестве функции ОР ИУ для данной тр-и. С коэф. ур-ния КЗП $G_0(z, \delta)$

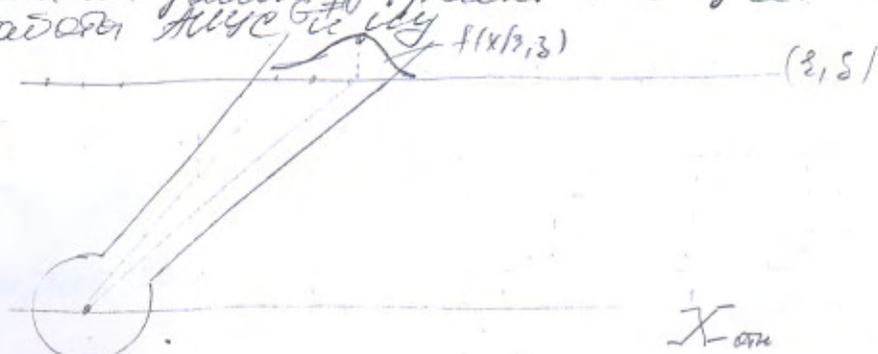
Т.о. оск. хар-ка ИУ в заданных условиях эфф-но компенсирует едв. коэф. γ -и и более его аппроксимацией

Глава 4.

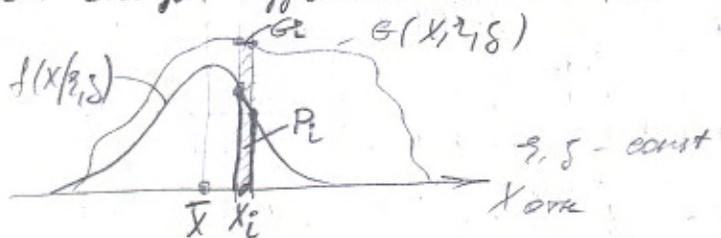
Основные положения описания эффективности конструкции.

4.1. Условный закон.

- хар-ка пов. поверхности ур-ия вер-те по отношению к данной траектории с учетом работы ИУС $G(x, z, \delta)$



ка (ξ, δ) и у хар ея ур ием кзп.
 АИУС хар ея $f(x/\xi, \delta)$
 сн выверя иффмт иа (ξ, δ)



Для сферич. усл-го змг восп-ем ф-лу
 полной вер-ти, код. перв. сферич. вер-то
 некое событие А, код. промежуток
 события с событиями $H_1, \dots, H_i, \dots, H_n$,
 образующих полную группу несовмест.
 всех событий.
 H_1, \dots, H_n - ишобзор.

$$P\{A\} = \sum_{i=1}^n P(H_i) \cdot P(A/H_i)$$

15.11
 2006г.

Вектор.

Служит основой 2-го курса.

Связаны с асимметрией ос АИУС и ОРИУ)
 для случаев крив-го крива.)

расшир. крив-го крива, описыв. в том отн-х сгтей.

цель крив-го; $-V_y$; икв-точка

θ_p - угол наклона

$\theta_p = \arctan \mu$ $d=0$ - угол атаки; V_p совм. с X_p

и у: V_{ax} $\mu_0=90^\circ$ - угол вылета самолета

$V_{гит} = V_{ax} + V_{ax}$

реальн. θ_p $\parallel X_{отк}$

АИУС: $\varphi = const$ - угол расстрела дрн

40a